

# TP10 Différences finies pour l'équation de la chaleur

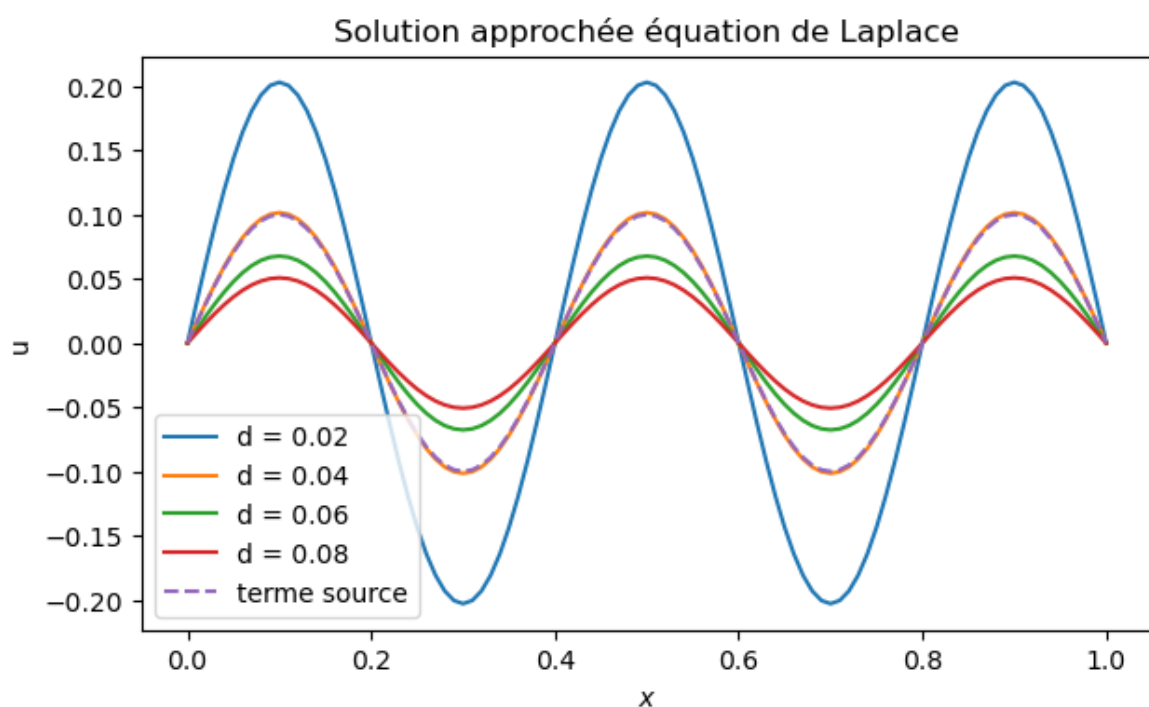
```
In [1]: from math import *
import numpy as np
import matplotlib.pyplot as plt
import numpy.linalg as la
```

## Partie 1 : Équation de Laplace

```
In [2]: def DFLaplace(f,J,d):
#f : terme source, J : nb de points de discrétisation, d : coefficient de diff
A = np.diag(2*np.ones(J-1)) - np.diag(np.ones(J-2),-1) - np.diag(np.ones(J-2),
A = A * J**2
x = np.linspace(0,1,J+1)
F = f(x[1:-1])
U = la.solve(d*A,F)
return x,U
```

```
In [3]: def f(x): #terme source continu
return np.sin(5*pi*x)
```

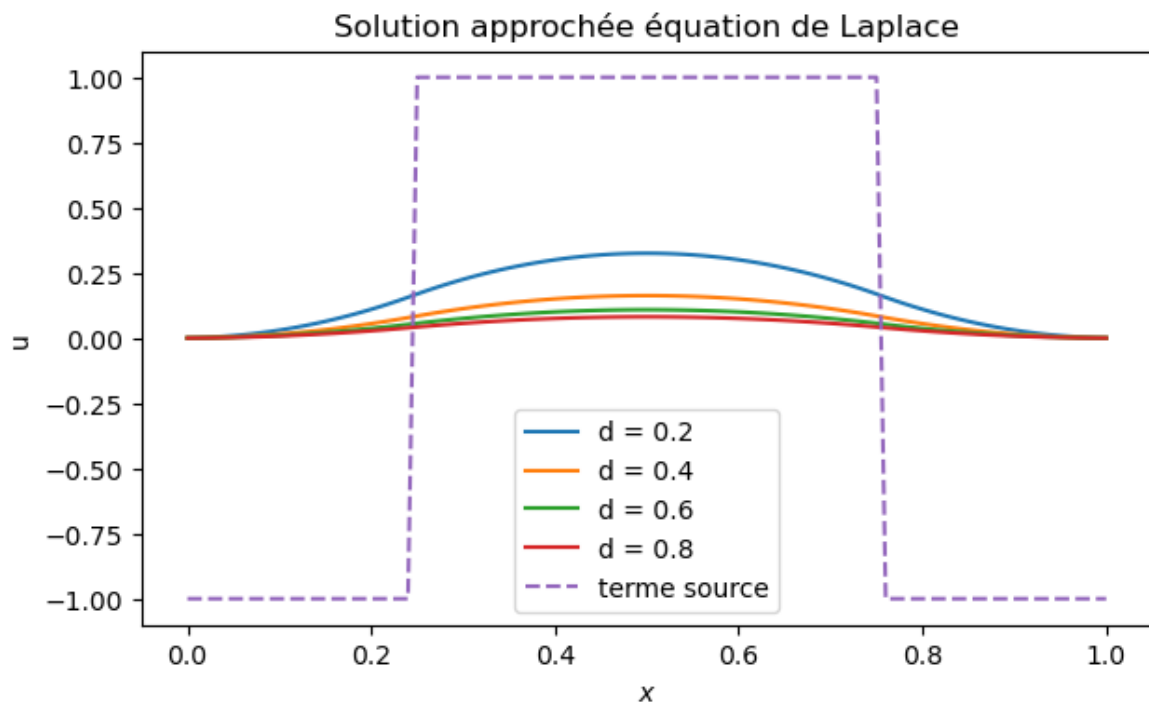
```
In [4]: U2 = np.zeros(101)
plt.figure(figsize = (7, 4))
for d in np.arange(0.02,0.1,0.02):
x,U = DFLaplace(f,100,d)
U2[1:-1] = U
plt.plot(x,U2,label='d = '+str(round(d,3)))
plt.xlabel('$x$')
plt.ylabel('$u$')
plt.plot(x,f(x)/10,'--',label = 'terme source')
plt.legend()
plt.title('Solution approchée équation de Laplace')
plt.show()
```



Interprétation : Le terme source correspond à la chaleur apportée à un barreau métallique. La température aux deux extrémités du barreau est maintenue à 0. Les courbes en trait plein représentent la température du barreau à l'équilibre. On constate que plus le barreau est conducteur ( $d$  élevé) plus la température à l'équilibre est homogène et faible (l'énergie fournie est dissipée).

```
In [5]: def f2(x): #terme source discontinu
        return np.array(-1+2*(x<=3./4)*(x>=1./4),dtype=float)

U2 = np.zeros(101)
plt.figure(figsize = (7, 4))
for d in np.arange(0.2,1,0.2):
    x,U = DFLaplace(f2,100,d)
    U2[1:-1] = U
    plt.plot(x,U2,label='d = '+str(round(d,3)))
plt.xlabel('$x$')
plt.ylabel('$u$')
plt.plot(x,f2(x),'--',label = 'terme source')
plt.legend()
plt.title('Solution approchée équation de Laplace')
plt.show()
```



Les courbes de température sont régulières en  $x$  malgré la discontinuité du terme source. Comme dans l'exemple précédent, plus  $d$  augmente, plus la température est homogène dans le barreau à l'équilibre.

## Partie 2 : Équation de la chaleur

### Schéma explicite

On cherche à approcher la solution instationnaire de l'EDP suivante:

$$\frac{\partial u(t, x)}{\partial t} = d \frac{\partial^2 u(t, x)}{\partial x^2} + s(x),$$

avec les conditions au bord  $u(t, 0) = u(t, 1) = 0$  pour tout  $t \geq 0$ . En guise de discrétisation en espace du problème, on procède par différences finies avec un pas  $\Delta x = 1/(N_x + 1)$ . Une

version intermédiaire du problème est ainsi constitué d'un problème dit semi-discret, en l'occurrence un système d'EDO posé dans  $\mathbb{R}^{N_x}$ :

$$U'(t) = -dAU(t) + S,$$

où l'on note  $U(t) = (u_i(t))_{1 \leq i \leq N_x}$  tel que  $u_i(t)$  approche  $u(t, i\Delta x)$ , et  $u_0(t) = u_{N_x+1}(t) = 0$ . Le second membre  $S$  vérifie  $S_i = s(i\Delta x)$ . La matrice  $A$  symétrique définie et positive déjà rencontrée maintes fois est celle du laplacien 1D:

$$A = \frac{1}{\Delta x^2} \begin{pmatrix} 2 & -1 & 0 & \cdots & \cdots & 0 \\ -1 & 2 & -1 & 0 & & \vdots \\ 0 & \ddots & \ddots & \ddots & \ddots & \vdots \\ \vdots & \ddots & -1 & 2 & -1 & 0 \\ \vdots & & \ddots & \ddots & \ddots & -1 \\ 0 & \cdots & \cdots & 0 & -1 & 2 \end{pmatrix}.$$

```
In [6]: def eqdiff(d,U,f,dx):
# ici d est le coefficient de diffusion
# après discrétisation on a remplacé notre équation de la chaleur par une équation
# U' = -d A U + f dont on calcule ici le second membre
# dx est le pas de discrétisation spatiale qui interviendra dans la matrice A.
n = len(U)
A = 1/(dx**2) * (2 * np.diag(np.ones(n),0) - np.diag(np.ones(n-1),1) - np.diag(np.ones(n-1),-1))
return - d*A.dot(U) + f

def S(x): # terme source
return 100 * np.sin(5 * np.pi * x)

def S0(x) : # pas de terme source
return 0

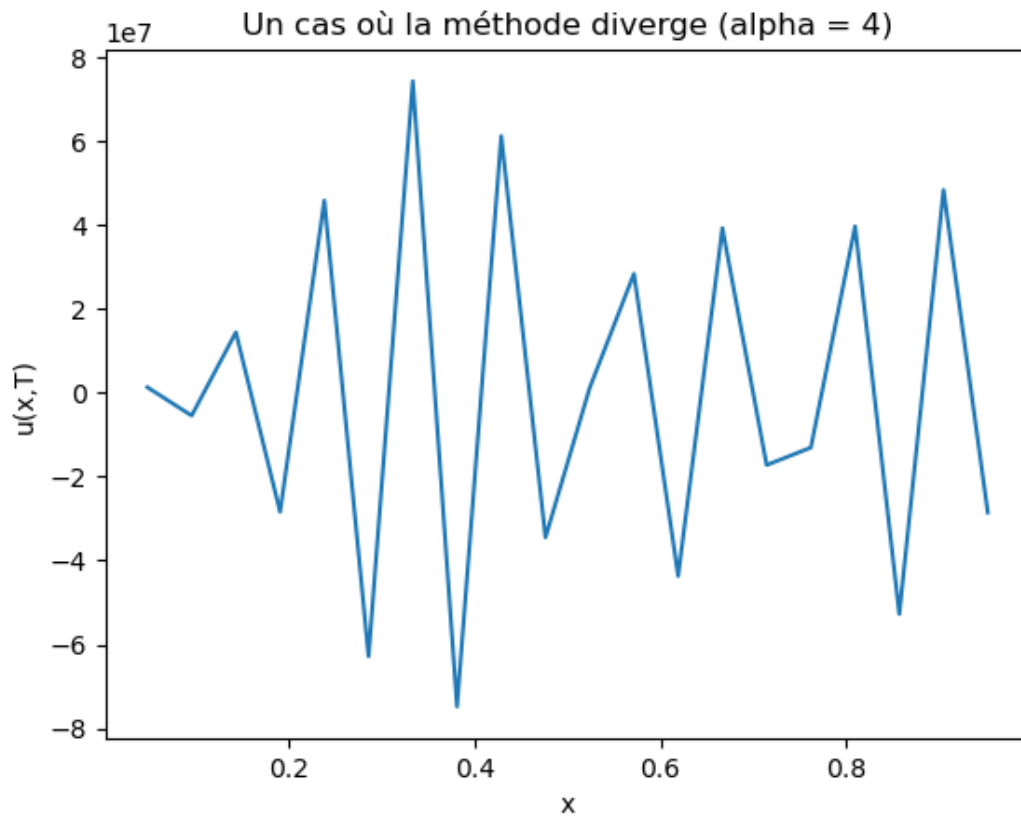
def U0(x): # donnée initiale
return np.sin(np.pi * x) + 1 / 2 * np.sin(5 * np.pi * x)

def EulerExpliciteChaleur(d,t, U0, S, h, Nx, tf):
# t est l'instant où la donnée initiale U0 est donnée, en pratique t = 0 dans
# h est le pas de temps, le pas d'espace dx est calculé en fonction du nombre de points
dx = 1 / (Nx + 1)
X = dx * np.arange(1, Nx + 1)
nbr_pas = int((tf-t) / h)
U = np.zeros((Nx, nbr_pas + 1))
U[:,0] = U0(X)
for i in range (1, nbr_pas + 1):
    U[:,i] = U[:,i-1] + h * eqdiff(d,U[:,i-1],S(X),dx)
return X,U
```

Testons cette méthode pour  $d = 0.1$ ,  $N_x = 20$  et un pas de temps  $h = 0.1$ . Cela correspond à

$$\alpha = d\Delta t/\Delta x^2 = 0.1 * 0.1 * 400 = 4.$$

```
In [7]: X1,U1 = EulerExpliciteChaleur(0.1, 0, U0, S0, 0.1, 20, 2)
plt.plot(X1,U1[:,-1])
plt.xlabel('x')
plt.ylabel('u(x,T)')
plt.title('Un cas où la méthode diverge (alpha = 4)')
plt.show()
```



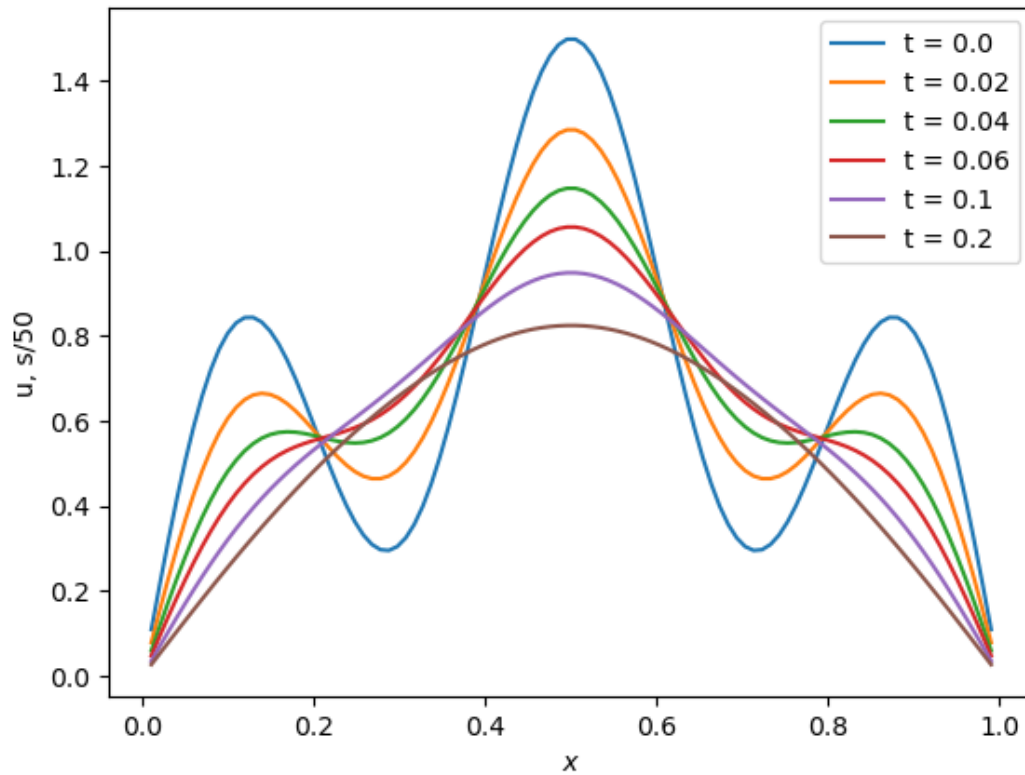
De toute évidence, la méthode diverge avec cette valeur de  $\alpha$ . On va reprendre nos calculs en diminuant le pas de temps. Ci-dessous on a

$$\alpha = d\Delta t / \Delta x^2 = 10^{-6} / 10^{-4} = 0.01.$$

```
In [8]: X3,U3 = EulerExpliciteChaleur(0.1,0, U0, S0, 0.00001, 100, 1)
```

```
In [9]: #plt.plot(X3,S(X3)/50, '--', label = 'terme source')
for i in [0,2000,4000,6000,10000, 20000]:
    plt.plot(X3,U3[:,i], label = 't = '+str(round(i*0.00001,3)))
plt.xlabel('$x$')
plt.ylabel('u, s/50')
plt.legend()
plt.title('Solution approchée équation de la chaleur (alpha = 0.01)')
plt.show()
```

Solution approchée équation de la chaleur (alpha = 0.01)

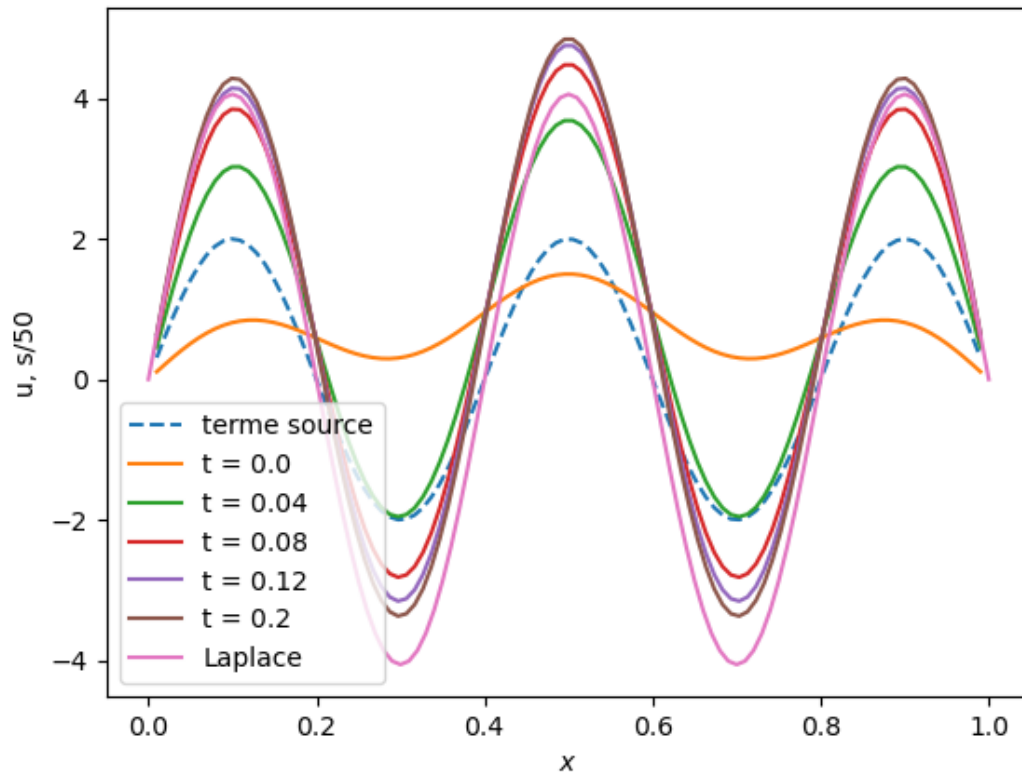


Ici la méthode converge mais le calcul demande un temps CPU long à cause du pas de temps qui est très petit. Regardons maintenant ce qui se passe avec un terme source.

```
In [10]: X2,U2 = EulerExpliciteChaleur(0.1,0, U0, S, 0.00001, 100, 1)
```

```
In [11]: plt.plot(X2,S(X2)/50, '--', label = 'terme source')
for i in [0,4000,8000,12000, 20000]:
    plt.plot(X2,U2[:,i], label = 't = '+str(round(i*0.00001,3)))
plt.xlabel('$x$')
plt.ylabel('u, s/50')
x,U = DFLaplace(S,100,0.1)
UL = np.zeros(101)
UL[1:-1] = U
plt.plot(x,UL,label='Laplace')
plt.legend()
plt.title('Solution approchée équation de la chaleur (alpha = 0.01)')
plt.show()
```

### Solution approchée équation de la chaleur (alpha = 0.01)

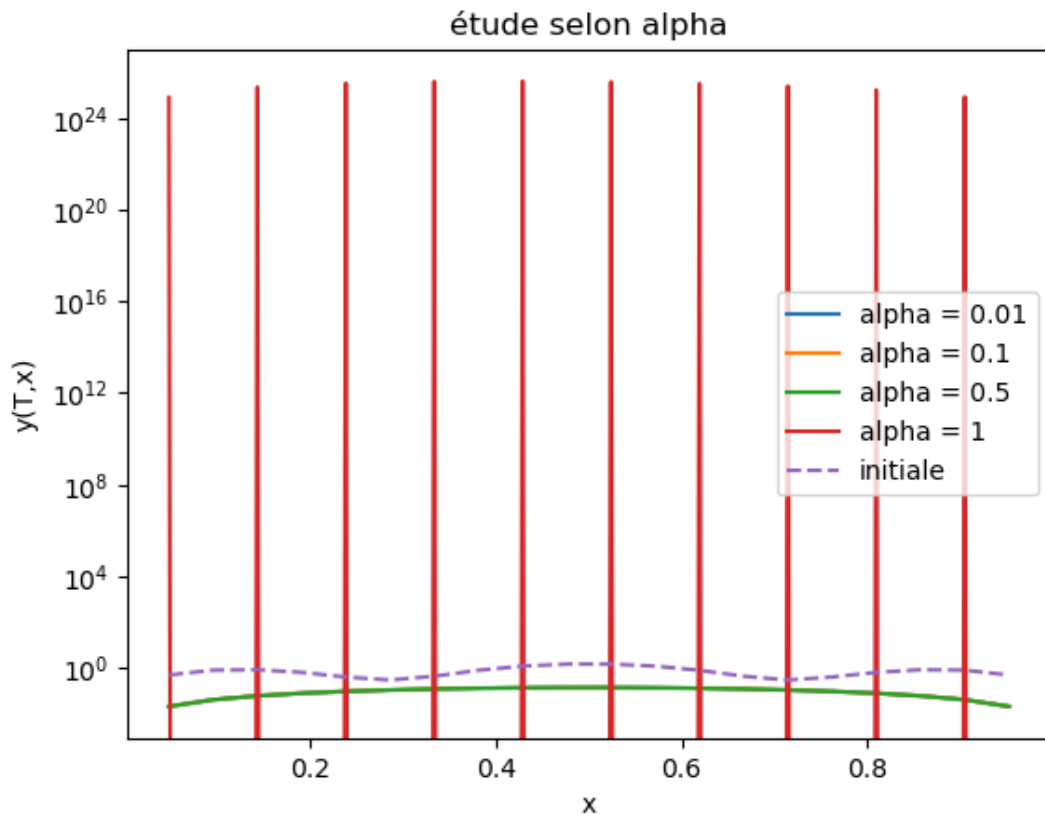


### Étude selon la valeur de $\alpha$

Nous faisons varier alpha entre 0.01 et 1 et nous observons la convergence de la méthode.

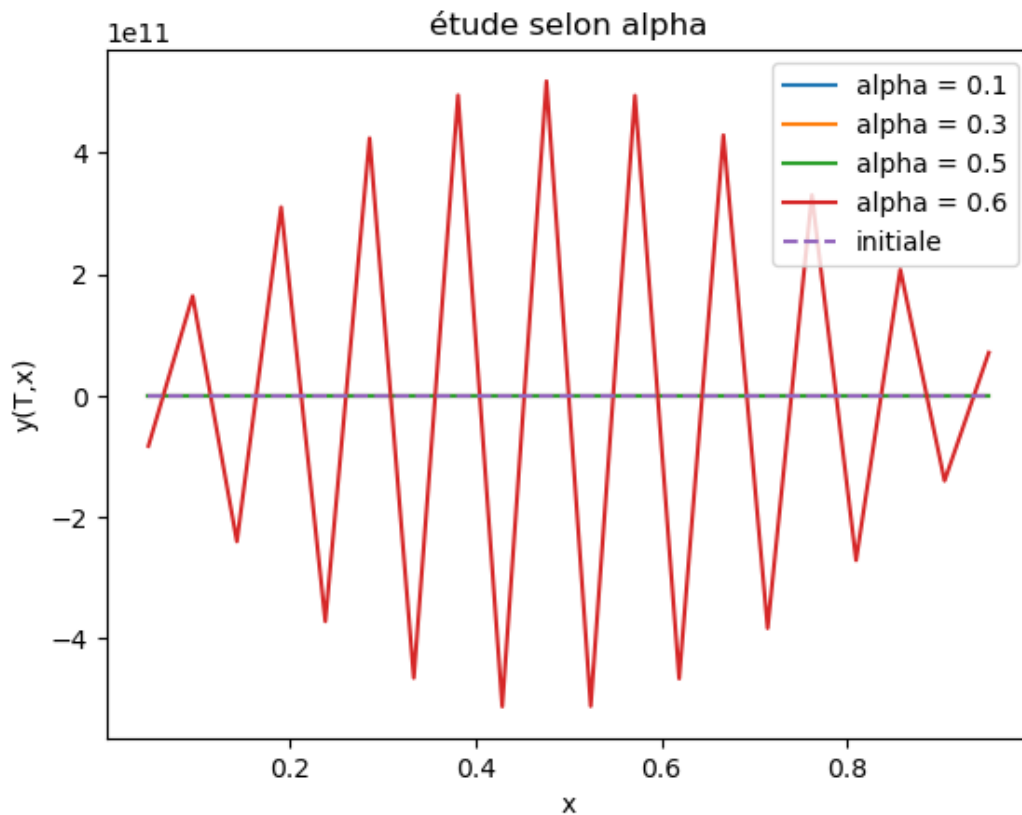
```
In [37]: tab_alpha = [0.01,0.1,0.5,1]
Nx = 20
d = 0.1
tf = 2
for alpha in tab_alpha:
    h = alpha / (d*Nx**2)
    X,U = EulerExpliciteChaleur(d,0, U0, S0, h, Nx, tf)
    plt.semilogy(X,U[:, -1],label='alpha = '+str(alpha))
plt.semilogy(X,U0(X),'--',label='initiale')
plt.xlabel('x')
plt.ylabel('y(T,x)')
plt.legend()
plt.title('étude selon alpha')
plt.show()

#On trace en échelle logarithmique pour mieux distinguer ce qui se passe au voisin
```



On observe que toutes les courbes finales sont confondues sauf la courbe pour la valeur alpha = 1 qui fait diverger la méthode. On reprend pour alpha entre 0.1 et 0.6

```
In [12]: tab_alpha = [0.1,0.3,0.5,0.6]
Nx = 20
d = 0.1
tf = 2
for alpha in tab_alpha:
    h = alpha / (d*Nx**2)
    X,U = EulerExpliciteChaleur(d,0, U0, S0, h, Nx, tf)
    plt.plot(X,U[:,-1],label='alpha = '+str(alpha))
plt.plot(X,U0(X),'--',label='initiale')
plt.xlabel('x')
plt.ylabel('y(T,x)')
plt.legend()
plt.title('étude selon alpha')
plt.show()
```



On observe que la méthode diverge dès que  $\alpha > 0.5$ , ce qui est conforme à la théorie (cf étude de stabilité  $l^2$  ou  $l^\infty$  du schéma).

## Schéma implicite

L'intérêt du schéma implicite est qu'il est stable sans condition CFL. On peut donc le mettre en oeuvre sans prendre des pas de temps très petits.

```
In [13]: def S(x):
    return 100 * np.sin(5 * np.pi * x)

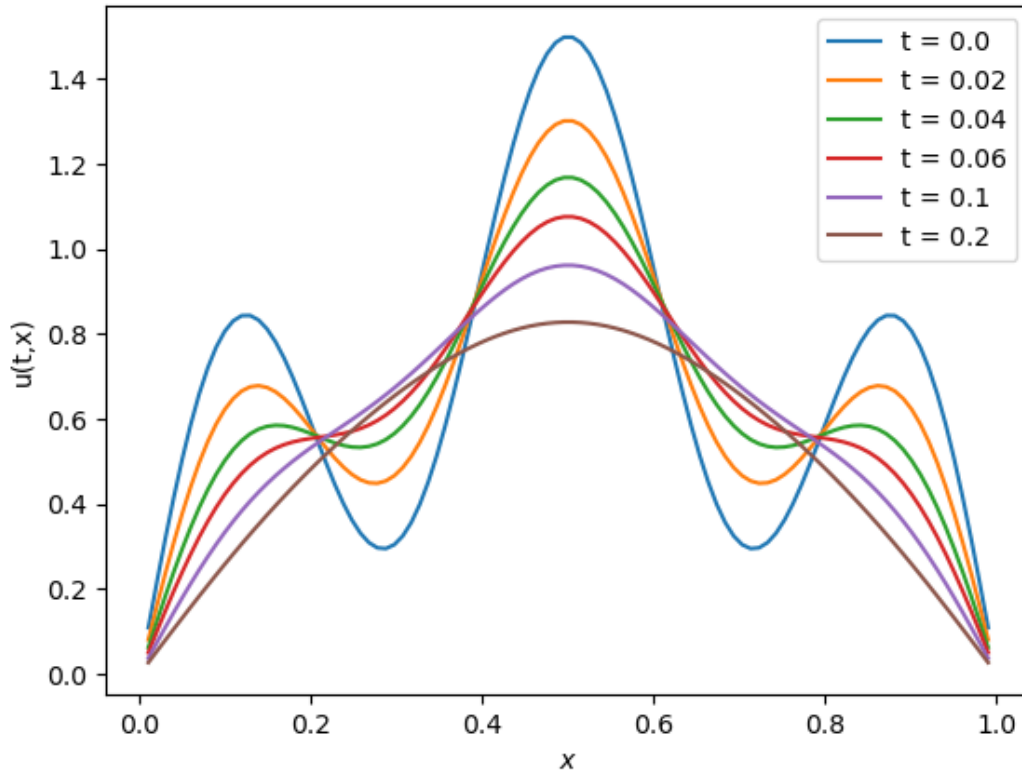
def U0(x):
    return np.sin(np.pi * x) + 1 / 2 * np.sin(5 * np.pi * x)

def EulerImpliciteChaleur(d,U0, S, h, Nx, tf):
    dx = 1 / (Nx + 1)
    X = dx * np.arange(1, Nx + 1)
    A = 1/(dx**2) * (2 * np.diag(np.ones(Nx),0) - np.diag(np.ones(Nx-1),1) - np.di
    nbr_pas = int(tf / h)
    U = np.zeros((Nx, nbr_pas + 1))
    U[:,0] = U0(X)
    for i in range (1, nbr_pas + 1):
        U[:,i] = la.solve(np.eye(Nx) + h *d* A,U[:,i-1] + h * S(X))
    return X,U
```

```
In [14]: X3,U3 = EulerImpliciteChaleur(d,U0, S0, 0.01, 100, 1)
for i in [0,2,4,6,10, 20]:
    plt.plot(X3,U3[:,i], label = 't = '+str(round(i*0.01,3)))
plt.xlabel('$x$')
plt.ylabel('u(t,x)')
plt.legend()
plt.title('Solution approchée, schéma implicite, Dirichlet')
plt.show()
```

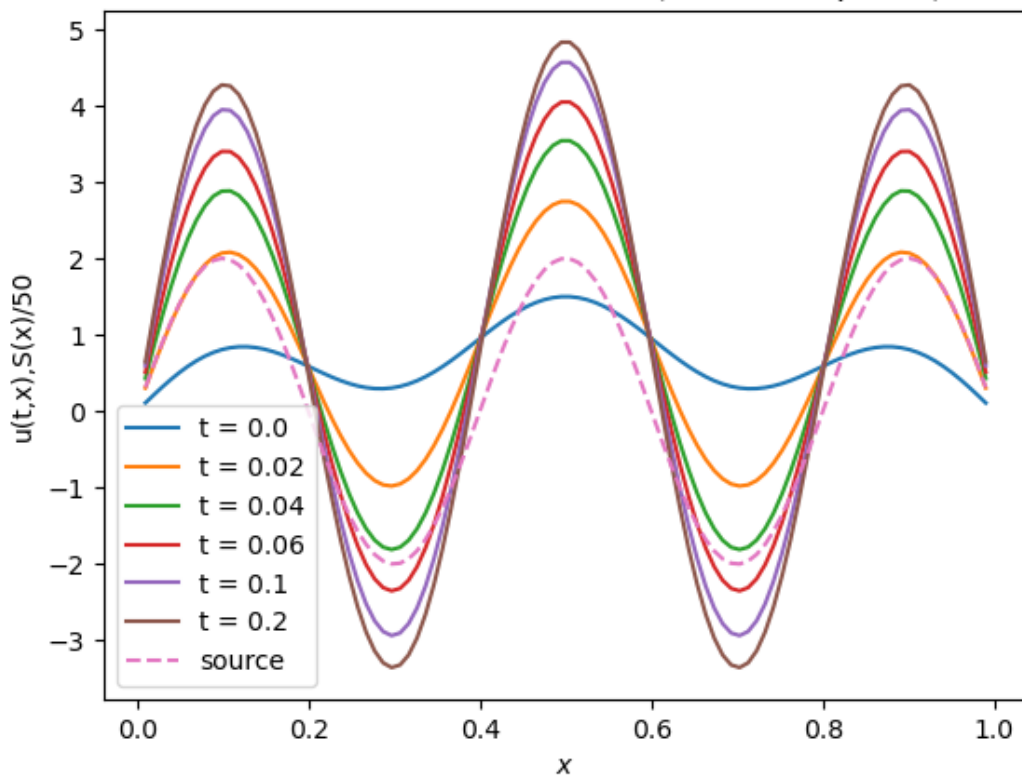


Solution approchée, schéma implicite, Dirichlet



```
In [15]: X3,U3 = EulerImpliciteChaleur(d,U0, S, 0.01, 100, 1)
for i in [0,2,4,6,10, 20]:
    plt.plot(X3,U3[:,i], label = 't = '+str(round(i*0.01,3)))
plt.xlabel('$x$')
plt.plot(X3,S(X3)/50,'--',label='source')
plt.ylabel('u(t,x),S(x)/50')
plt.legend()
plt.title('Avec terme source sinusoidal (schéma implicite)')
plt.show()
```

Avec terme source sinusoidal (schéma implicite)



Numériquement la solution semble converger vers la solution de l'équation de Laplace.

## Cas de conditions de Neumann au bord

On impose maintenant la condition au bord

$$\frac{\partial y}{\partial x}(t, 0) = \frac{\partial y}{\partial x}(t, 1) = 0$$

qui correspond à une condition de "non-flux" (pas de perte de chaleur au bord).

On considère toujours une subdivision régulière en espace avec un pas  $\Delta x = 1/(N_x + 1)$ . Le problème semi-discret est toujours un système d'EDO posé dans  $\mathbb{R}^{N_x}$ :

$$U'(t) = -dA_2U(t) + S,$$

où l'on note  $U(t) = (u_i(t))_{1 \leq i \leq N_x}$  tel que  $u_i(t)$  approche  $u(t, i\Delta x)$ . Au lieu de poser  $u_0(t) = u_{N_x+1}(t) = 0$ , on impose maintenant  $u_0(t) = u_1(t)$  et  $u_{N_x+1}(t) = u_{N_x}(t)$ . Ceci conduit à remplacer la matrice  $A$  du laplacien 1D habituelle par la matrice :

$$A_2 = \frac{1}{\Delta x^2} \begin{pmatrix} 1 & -1 & 0 & \cdots & \cdots & 0 \\ -1 & 2 & -1 & 0 & & \vdots \\ 0 & \ddots & \ddots & \ddots & \ddots & \vdots \\ \vdots & \ddots & -1 & 2 & -1 & 0 \\ \vdots & & \ddots & \ddots & \ddots & -1 \\ 0 & \cdots & \cdots & 0 & -1 & 1 \end{pmatrix}.$$

```
In [16]: def eqdiff_Neu(d,U,f,dx):
# après discrétisation on a remplacé notre équation de la chaleur par une équa
# U' = -d A2 U + f dont on calcule ici le second membre
# dx est le pas de discrétisation spatiale qui interviendra dans la matrice A.
n = len(U)
A2 = 1/(dx**2) * (2 * np.diag(np.ones(n),0) - np.diag(np.ones(n-1),1) - np.dia
A2[0,0] = 1/(dx**2)
A2[n,n] = 1/(dx**2)
return - d*A2.dot(U) + f

def EulerExpliciteChaleur_Neu(d,t, U0, S, h, Nx, tf):
# t est l'instant où la donnée initiale U0 est donnée, en pratique t = 0 dans
# h est le pas de te mps, le pas d'espace dx est calculé en fonction du nombre
dx = 1 / (Nx + 1)
X = dx * np.arange(1, Nx + 1)
nbr_pas = int((tf-t) / h)
U = np.zeros((Nx, nbr_pas + 1))
U[:,0] = U0(X)
for i in range(1, nbr_pas + 1):
    U[:,i] = U[:,i-1] + h * eqdiff_Neu(d,U[:,i-1],S(X),dx)
return X,U
```

```
In [17]: def EulerImpliciteChaleur_Neu(d,U0, S, h, Nx, tf):
dx = 1 / (Nx + 1)
X = dx * np.arange(1, Nx + 1)
A2 = 1/(dx**2) * (2 * np.diag(np.ones(Nx),0) - np.diag(np.ones(Nx-1),1) - np.d
A2[0,0] = 1/(dx**2)
A2[Nx-1,Nx-1] = 1/(dx**2)
nbr_pas = int(tf / h)
U = np.zeros((Nx, nbr_pas + 1))
U[:,0] = U0(X)
```

```

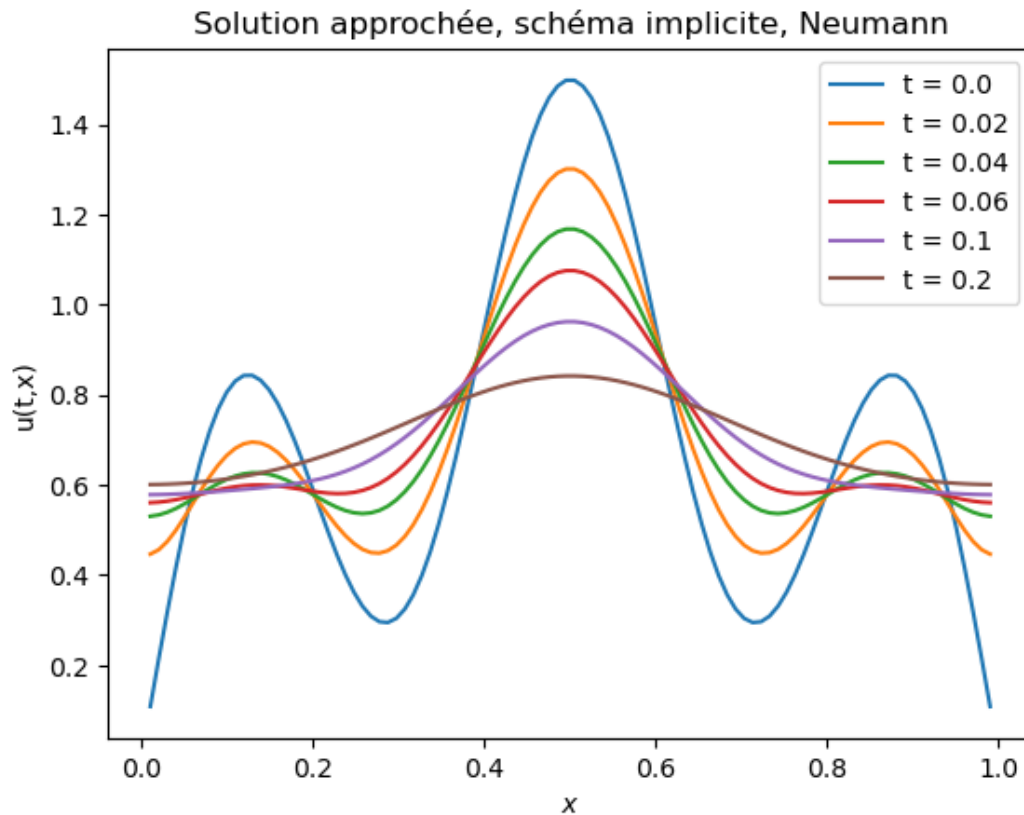
for i in range (1, nbr_pas + 1):
    U[:,i] = la.solve(np.eye(Nx) + h * d * A2,U[:,i-1] + h * S(X))
return X,U

```

```

In [18]: X4,U4 = EulerImpliciteChaleur_Neu(d,U0, S0, 0.01, 100, 1)
for i in [0,2,4,6,10, 20]:
    plt.plot(X4,U4[:,i], label = 't = '+str(round(i*0.01,3)))
plt.xlabel('$x$')
plt.ylabel('u(t,x)')
plt.legend()
plt.title('Solution approchée, schéma implicite, Neumann')
plt.show()

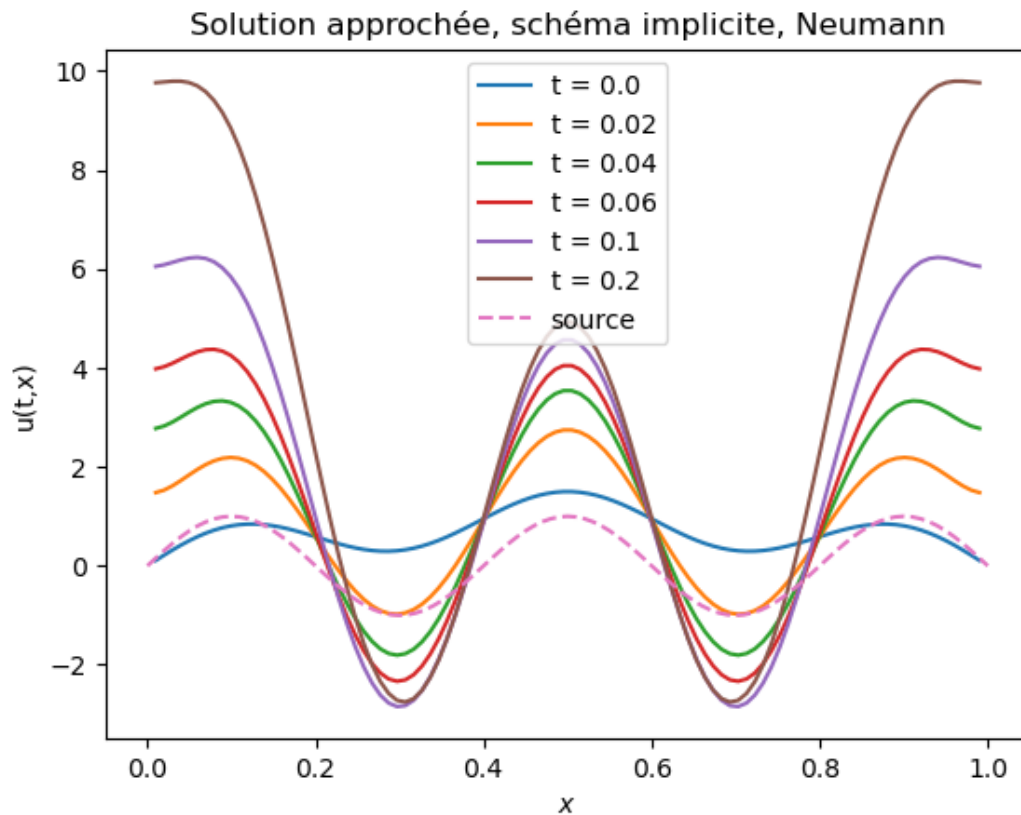
```



```

In [19]: X4,U4 = EulerImpliciteChaleur_Neu(d,U0, S, 0.01, 100, 1)
for i in [0,2,4,6,10, 20]:
    plt.plot(X4,U4[:,i], label = 't = '+str(round(i*0.01,3)))
plt.xlabel('$x$')
plt.ylabel('u(t,x)')
plt.plot(x,f(x),'--',label='source')
plt.legend()
plt.title('Solution approchée, schéma implicite, Neumann')
plt.show()

```



## Cas de conditions au bord périodiques

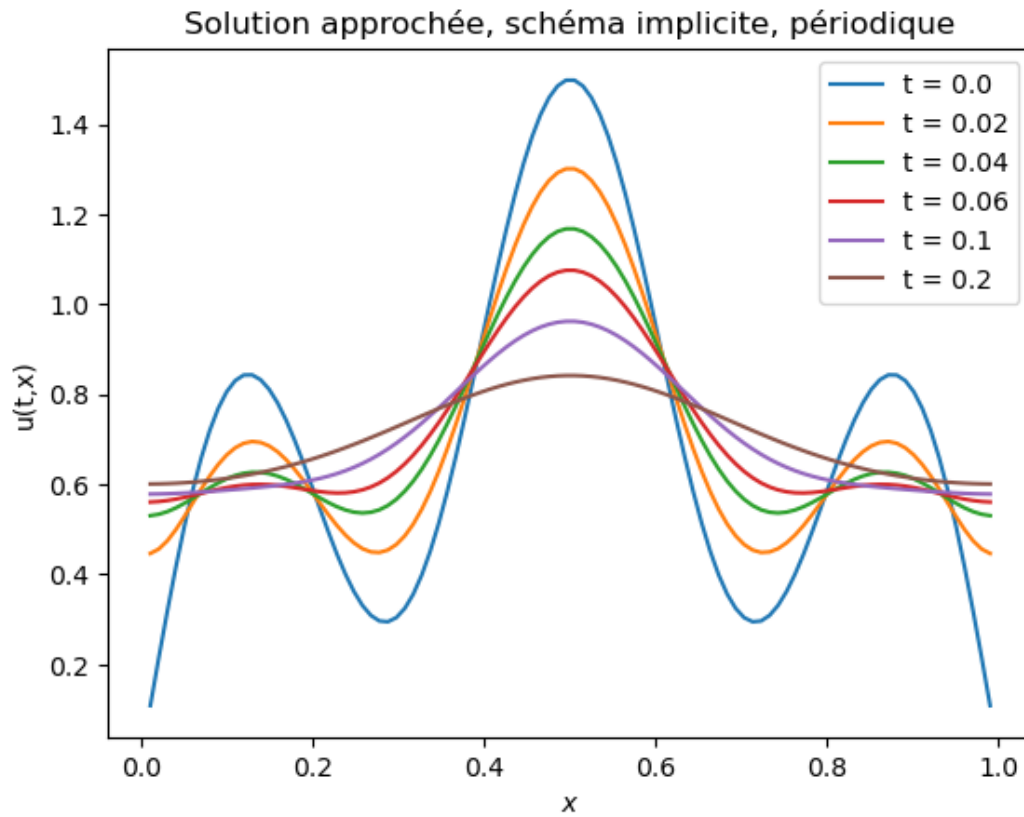
Cette fois la matrice  $A$  est remplacée par

$$A_3 = \frac{1}{\Delta x^2} \begin{pmatrix} 2 & -1 & 0 & \cdots & \cdots & -1 \\ -1 & 2 & -1 & 0 & & \vdots \\ 0 & \ddots & \ddots & \ddots & \ddots & \vdots \\ \vdots & \ddots & -1 & 2 & -1 & 0 \\ \vdots & & \ddots & \ddots & \ddots & -1 \\ -1 & \cdots & \cdots & 0 & -1 & 2 \end{pmatrix}.$$

```
In [20]: def EulerImpliciteChaleur_per(d,U0, S, h, Nx, tf):
dx = 1 / (Nx + 1)
X = dx * np.arange(1, Nx + 1)
A3 = 1/(dx**2) * (2 * np.diag(np.ones(Nx),0) - np.diag(np.ones(Nx-1),1) - np.d
A3[0,Nx-1] = -1/(dx**2)
A3[Nx-1,0] = -1/(dx**2)
nbr_pas = int(tf / h)
U = np.zeros((Nx, nbr_pas + 1))
U[:,0] = U0(X)
for i in range(1, nbr_pas + 1):
    U[:,i] = la.solve(np.eye(Nx) + h * d * A3,U[:,i-1] + h * S(X))
return X,U
```

```
In [21]: X5,U5 = EulerImpliciteChaleur_per(d,U0, S0, 0.01, 100, 1)
for i in [0,2,4,6,10, 20]:
    plt.plot(X5,U5[:,i], label = 't = '+str(round(i*0.01,3)))
plt.xlabel('$x$')
plt.ylabel('$u(t,x)$')
plt.legend()
```

```
plt.title('Solution approchée, schéma implicite, périodique')
plt.show()
```



```
In [22]: X5,U5 = EulerImpliciteChaleur_per(d,U0, S, 0.01, 100, 1)
for i in [0,2,4,6,10, 20]:
    plt.plot(X5,U5[:,i], label = 't = '+str(round(i*0.01,3)))
plt.xlabel('$x$')
plt.ylabel('u(t,x)')
plt.legend()
plt.title('Solution approchée, schéma implicite, périodique')
plt.show()
```

